

Simulation and Evaluation of Jitter and Packet Loss Noises Influence on Covert Timing Channel Performance

M. Saadati^{1*}, M. Dehghani², M. Saleh Esfahani³

1- Master Student, Imam Hossein University
2, 3- PhD, Imam hossein University

(Recive: 2014/04/25, Accept: 2014/12/01)

Abstract

Covert timing channels are used in transmitting information in a secret way. Jitter and packet loss are two important noises that affect Covert Timing Channel performance. Several studies on evaluating capacities and robustness of covert channels were done, but all those were based on measurement in real environment or computational methods. Measurement in real environment and computational methods do not have the capacity of creating special circumstances and evaluating the channel in those circumstances. In the present research, a covert timing channel on the Internet consisting two packet losses and jitter noises was simulated using Petri-Net. Also, capacity and robustness criteria of channel were evaluated. The results of the simulation showed that weibull distribution function to modeling HTTP traffic transmitter, laplacian distribution function to modeling network jitter and bernoulli distribution function to modeling packet loss are careful enough. Also, parameters of these models obtained to optimum capacity and robustness.

Keywords:

Simulation, Network Noise, Jitter, Packet Loss, Covert Timing Channel

* Corresponding Author Email: g8911486027@ihu.ac.ir

شبیه‌سازی و ارزیابی تأثیر نویزهای لغزش زمانی و گم‌شدن بسته بر کارایی کanal زمانبندی‌دار پوششی

مجتبی سعادتی^{۱*}، مهدی هفقانی^۲، محمود صالح اصفهانی^۳

۱- دانشجوی کارشناسی ارشد، دانشگاه جامع امام حسین^(ع)

۲ و ۳- استادیار دانشگاه جامع امام حسین^(ع)

(دریافت: ۹۳/۰۹/۰۵، پذیرش: ۹۳/۰۹/۱۰)

چکیده

کanal زمانبندی‌دار پوششی یکی از فناوری‌هایی است که به‌واسطه آن می‌توان اطلاعات را به‌صورت مخفیانه تبادل نمود. لغزش زمانی و گم‌شدن بسته مهم‌ترین نویزهای مؤثر بر کارایی کanal‌های زمانبندی‌دار پوششی است. مطالعات گسترده‌ای در خصوص ارزیابی کanal‌های پوششی صورت گرفته است، ولی تمام ارزیابی‌های صورت گرفته در این حوزه، تاکنون مبتنی بر اندازه‌گیری در محیط واقعی یا روش محاسباتی بوده است. در روش‌های محاسباتی و اندازه‌گیری در محیط واقعی، امکان ایجاد شرایط خاص و آزمایش و ارزیابی کanal در آن شرایط وجود ندارند. در این تحقیق کanal زمانبندی‌دار پوششی و نویزهای لغزش زمانی و گم‌شدن بسته، با استفاده از شبکه پتری شبیه‌سازی شده و معیارهای ظرفیت و استحکام آن مورد ارزیابی قرار گرفته است. نتایج شبیه‌سازی نشان می‌دهد که تابع توزیع ویبول برای مدل رفتار فرستنده ترافیک HTTP، توزیع لایپلاس برای مدل رفتار لغزش زمانی شبکه و توزیع مستقل برنولی برای مدل رفتار نویز گم‌شدن بسته‌های شبکه از دقت کافی برخوردارند. علاوه بر این، پارامترهای این مدل‌ها برای بهینه‌سازی ظرفیت و استحکام کanal نیز به دست آمد.

واژه‌های کلیدی: شبیه‌سازی، نویز شبکه، لغزش زمانی، گم‌شدن بسته، کanal زمانبندی‌دار پوششی

۱. مقدمه

موجب وارد آمدن خسارات اقتصادی و اعتباری زیادی به سازمان‌ها شود. از دیدگاه محروم‌گی، سازمان‌ها باید سازوکارهای پیشگیری و تشخیصی را، برای محافظت داده‌های اشان از هرگونه حمله یا نشت اطلاعات به کار گیرند. طبق بررسی CSI/FBI، نشت اطلاعات حساس از طریق شبکه، رایج‌ترین تهدید امنیتی سازمان‌ها است [۳]. آمارها نشان می‌دهد که در سال ۲۰۱۳ نشت اطلاعات جایگاه اولین تهدید را در فهرست ده تهدید اول به خود اختصاص داده است [۴].

در اینجا مسئله‌ای که وجود دارد این است که روش مناسبی برای مطالعه و تحقیق بر روی انواع کanal‌های زمانبندی‌دار پوششی وجود ندارد، به طوری که بتوان کارایی کanal زمانبندی‌دار پوششی را در هر شرایطی مورد ارزیابی قرار داد. نمی‌توان شرایط اولیه موردنیاز برای برخی از آزمایش‌هایی که برای سنجش کارایی لازم است را مهیا نمود. تهیه شبکه‌های بسیار سریع یا خاصی که دارای ویژگی‌های فنی اختصاصی هستند و به طور دائم در حال تغییر و بروز رسانی می‌باشند، بسیار مشکل است. سؤالی که وجود دارد این است که چگونه می‌توان شرایط مناسب برای مطالعه و تحقیق بر روی کanal‌های زمانبندی‌دار پوششی در شرایط مطلوب را تأمین کرد.

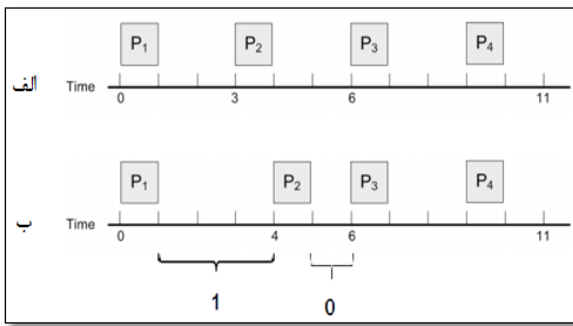
استفاده از فاصله‌های زمانی بین بسته‌ها، یکی از راه‌های پیاده‌سازی کanal‌های زمانبندی‌دار پوششی است. پیش از این تحقیقات پیاده‌سازی در خصوص ارزیابی کanal‌های پوششی صورت گرفته است، ولی تمام ارزیابی‌های صورت گرفته در این حوزه، تاکنون

شناسایی آخرین فناوری‌های مخفی‌سازی اطلاعات^۱ شامل پنهان‌نگاری^۲ و کanal‌های پوششی^۳ و مقابله با آن‌ها، از مهم‌ترین اقداماتی است که باید برای ممانعت از نشت اطلاعات در شبکه‌های رایانه‌ای انجام داد. موضوعات زیادی در خصوص پنهان‌نگاری و کanal‌های پوششی مطرح هستند که باید به آن‌ها توجه کرد. بعد از وقوع حملات ۱۱ سپتامبر سال ۲۰۰۱ به پنتاگون و مرکز تجاری آمریکا، جراید خبرهایی را در خصوص استفاده عوامل گروه القاعده از روش‌های پنهان‌نگاری برای ایجاد ارتباطات پنهان از دید عوامل فدرال دولت آمریکا انتشار دادند [۱]. در مورد جدیدتر، خبری مبنی بر به کار گیری ابزارهای مبتنی بر کanal پوششی و پنهان‌نگاری توسط ۱۱ تن از جاسوسان روسی برای تبادل اطلاعات محروم‌انه در جراید انتشار یافت [۲].

اغلب کاربردهای کanal پوششی دارای نیت‌های بدخواهانه است. کanal‌های پوششی با ماهیت انگلی که دارند باعث مصرف منابع سیستم و نهایتاً کاهش کارایی سیستم نیز می‌گردند. نشت اطلاعات محروم‌انه سازمان یا اطلاعات خصوصی مشتریان سازمان می‌تواند

* رایانمای نویسنده مسئول: 8911486027@ihu.ac.ir

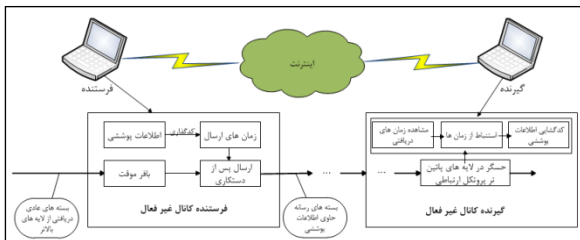
1. Information Hiding
2. Steganography
3. Covert Channels



شکل ۱. نحوه ایجاد کanal زمانبندی دار پوششی در بستر شبکه [۷]

۲. کanal زمانبندی دار پوششی مبتنی بر زمان های بین بسته ها

طرح های کدگذاری متنوعی برای پیاده سازی کanal های زمانبندی دار پوششی مبتنی بر زمان های بین بسته ها ارائه شده است. اما تمامی این طرح ها به راحتی تشخیص داده می شوند [۸]. جیانویچ چو [۹] و سلک [۱۰] کanal هایی را ارائه کرده اند که تشخیص آن ها مشکل است. عمدت کارهای صورت گرفته بر روی ترافیک TCP تمرکز کرده اند، زیرا آن به طور دائمی در اینترنت برقرار است و جریان دارد [۱۱]. البته درصدی از اطلاعات در این حوزه نیز بر روی ترافیک UDP صورت گرفته است، چرا که پس از TCP بیشترین ترافیک جاری در اینترنت است. در یک کanal زمانبندی دار پوششی، اطلاعات با استفاده از فاصله بین بسته های متواالی، کدگذاری و سپس ارسال می گردد. زمانی که بسته های رسانه مورداستفاده، به منظور ایجاد کanal مورد بهره برداری قرار می گیرد، فرستنده فاصله زمانی بین بسته های مجاور را تغییر می دهد تا بتواند اطلاعات را بر روی آن ها سوار کند. برای انجام این کار فرستنده باید با فرهایی را مهیا و تنظیم کند و بسته های ورودی را قبل از اینکه ارسال نماید، به صورت موقت در آن ها نگهداری کند. از اینجا به بعد به منظور تلخیص، بجای عبارت «کanal زمانبندی دار پوششی مبتنی بر زمان های بین بسته ها» از واژه «کanal» استفاده می گردد.



شکل ۲. طرح ارتباطی ایجاد کanal زمانبندی دار پوششی [۱۱]

۳. خصوصیات کanal

طرح کلی ایجاد کanal در شکل ۲ دیده می شود. شکل ۳ ارسال اطلاعات در یک کanal را با جزئیات ارسال نشان می دهد. فرایند انجام کار بدین صورت است که تعداد n بسته به طوری که $n < 5$ است، از

مبتنی بر اندازه گیری در محیط واقعی یا روش محاسباتی بوده است. روش های محاسباتی و روش های اندازه گیری در محیط واقعی، امکان ایجاد شرایط خاص و آزمون و آزمایش کanal در آن شرایط را ندارند. در این تحقیق به منظور فراهم شدن امکان مطالعه و آزمایش در شرایط خاص، کanal زمانبندی دار پوششی مبتنی بر زمان های بین بسته ها، با استفاده از شبکه پتری رنگی شبیه سازی شده و معیارهای ظرفیت و استحکام آن، در شرایط موردنظر ارزیابی خواهد شد. در بخش دوم به شرح کارهای مرتبط با این تحقیق پرداخته و در بخش سوم، پس از تعیین مدل رفتاری نویز های کanal و مقادیر پارامترهای آن ها، شبیه سازی آن صورت خواهد گرفت. بخش چهارم به اجرای آزمایش ها و تحلیل و ارزیابی نتایج حاصل از شبیه سازی می پردازد. درنهایت بخش پنجم به جمع بندی و نتیجه گیری از این تحقیق اشاره خواهد داشت.

۲. کارهای مرتبط

منظور از کanal پوششی، مخفی کردن داده ها در داخل رسانه های انتقال است، به طوری که وجود این داده ها قابل تشخیص نباشد و به اصل وظیفه رسانه خدشه ای وارد نشود. به عبارت دیگر کanal پوششی یک رسانه ارتباطی است که به طور ناخواسته و تصادفی در طراحی سیستم ایجاد شده است [۵]. کanal های پوششی به دو دسته انبارشی^۱ و زمانبندی دار^۲ تقسیم می شوند.

۲. کanal زمانبندی دار پوششی

کanal زمانبندی دار پوششی به نوعی از کanal های پوششی گفته می شود که از علامت دادن از طریق زمان برای انتقال اطلاعات استفاده می کند [۶]. استفاده از زمان پاسخ یکی از منابع سیستم مثل پردازنده یا حافظه و استفاده از بستر اشتراکی شبکه برای ایجاد کanal زمانبندی دار پوششی، نمونه هایی از کanal های زمانبندی دار پوششی هستند. شکل ۱- (الف) بیانگر وضعیت عادی زمان های بین بسته های در حال تبادل در داخل شبکه بوده و شکل ۱- (ب) بیانگر کد کردن دو بیت اطلاعات با دست کاری زمان های عادی بین بسته های در حال تبادل است. این کanal ها داده های پوششی را در زمان بندی فریم ها، بسته های پیام هایی که مستقیماً بین فرستنده و گیرنده یک ارتباط مبادله می شوند کدگذاری می نمایند. ظرفیت کanal های زمانبندی دار، اغلب کمتر از کanal های انبارشی فاقد نویز است، اما در عوض، تشخیص و حذف آن ها سخت تر است. کanal های زمانبندی دار پوششی را به طور عمده با استفاده از نرخ بسته^۳، زمان های بین بسته ها^۴، زمان بندی توالي پیام^۵، گم شدن بسته ها^۶ و باز ترتیب بسته ها^۷ پیاده سازی می نمایند.

1. Storage
2. Timing
3. Packet Rate
4. Inter-Packet Times
5. Message Sequence Timing
6. Packet Loss
7. Reordering

صحیحی دریافت نکند؛ یعنی ممکن است گیرنده بجای مقدار «صفر»، مقدار «یک» را دریافت کند و یا به طور مشابه بجای مقدار «یک»، به واسطه وقوع خطأ، مقدار «صفر» کدگشایی گردد. از یک محدوده برای مشخص کردن مقدار این انحراف در بین دو فاصله استفاده می‌گردد که آن را محدوده انحراف^۱ می‌نامند.

گم شدن بسته: اگر یک بسته رسانه در مسیر انتقال بین فرستنده و گیرنده در شبکه گم شود، دو فاصله مجاور یکدیگر باهم ترکیب شده و یک فاصله جدید ایجاد می‌کنند. این فاصله ترکیبی ایجاد شده، با هیچ یک از فاصله‌های ارسالی تطبیق ندارد و مقدار کدگشایی شده از این فاصله مقدار صحیحی نخواهد بود.

۱.۴.۲. مدل لغزش زمانی

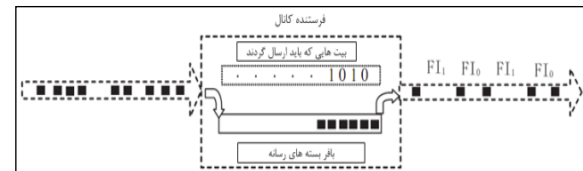
امیر هومن صدر^[۱۳] در بخشی از رساله خود اقدام به بررسی جهت تشخیص مدل لغزش زمانی کرده است، وی نشان داده است که مدل لغزش زمانی ترافیک شبکه، از توزیع لاپلاس تبعیت می‌کند. مطالعه گسترده‌ای بر روی سنجش رفتار لغزش زمانی شبکه دانیل به طور گستردگی^۲ در شیوه‌سازی خود با تعداد ۱۰۰۰۰ مطالعه نموده است^[۱۴]. وی در شیوه‌سازی خود با تعداد ۱۰۰۰۰ رساله نشان داده است که مدل لغزش زمانی از توزیع لاپلاس تبعیت می‌کند. دومینگوئز و همکارانش^[۱۵] نشان داده‌اند که مدل لغزش زمانی Alpha-Stable، مدلی مناسب بوده و در مواردی توزیع کوشی^۳ نتایجی را با تقریب قابل قبولی ارائه می‌دهد. ژوپیوپی و همکارانش^[۱۶] در مطالعه خود مدل دانیل^[۱۴] را مورد بررسی قرار داده و آن را مدل مناسبی تشخیص داده است. بندهوپادیا و همکارانش^[۱۷] نشان داده‌اند که لغزش زمانی را می‌توان بر اساس توزیع alpha-stable که خود شامل توزیع‌های گوسی، کوشی و لوی^۴ است، مدل نمود.

۱.۱.۴. مدل گم شدن بسته

مطالعات گسترده‌ای در زمینه تشخیص مدل گم شدن بسته‌ها پیش از این صورت گرفته است. عبدالعظیمی و همکارانش در مطالعه خود، مدل گم شدن بسته‌ها را به دو دسته گم شدن بسته‌ها به صورت تصادفی و گم شدن بسته‌ها بر اساس مدل گیلبرت تقسیم‌بندی نموده است^[۱۸]. در مطالعات صورت گرفته توسط انجمن صنایع ارتباطی^[۱۹]، دو مدل گم شدن بسته‌های سیل آسا و مدل گم شدن بسته‌ها ناشی از خرابی اتصالات ارائه شده است. در مطالعات شرکت سیسکو سیستم^[۲۰]، به مدل گم شدن بسته برنولی و مدل دو وضعیتی زنجیره مارکوف که بنام مدل گیلبرت^۵ شناخته می‌شود اشاره شده است. فلین و همکارانش^[۲۱]، موچانک^[۲۲] و آرنفین فلو^[۲۳] نیز در مطالعات خود در این حوزه نتایجی مشابه فوق را کسب نموده‌اند. در جدول ۱ خلاصه‌ای از این نتایج ارائه شده است.

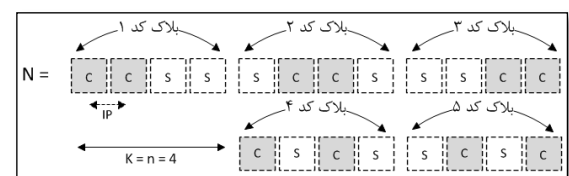
1. Deviation Range
2. Cauchy
3. Levy
4. Gilbert Model

انتهای بافر برداشته می‌شود. در زمان ارسال، کدگذاری زمان‌های بین بسته‌ها بر روی آنⁿ بسته انتخابی اعمال می‌گردد. بدین طریق بخشی از بسته‌های پوششی به سمت گیرنده ارسال می‌گردد. جهت بهبود نامحسوسی و استحکام کانال، از روش کدگذاری کم‌پشت^[۱۲]، بر روی روش فاصله بین بسته‌ها استفاده شده است.



شکل ۲. انتقال اطلاعات در یک کانال با استفاده از بافرینگ [۱۱]

در این روش از تعداد کل بسته‌های موجود در کلمه کد، بخشی از آن به کار گرفته می‌شود؛ یعنی در این مطالعه از تعداد ۴ بسته‌ای که در هر کلمه کد قرار دارد، از ۲ بسته مجاور یکدیگر و دو بسته مستقل و غیر مجاور استفاده می‌شود و در هر یک از این حالات، ۲ بسته دیگر بدون هیچ تغییری به مقصد ارسال می‌گردد. در واقع می‌توان گفت که پنج حالت مختلف برای کدگذاری مطرح است. شکل ۴ این حالات را نشان می‌دهد. همچنین برای افزایش بیشتر نرخ نامحسوسی کانال، انتخاب این پنج حالت، به صورت تصادفی انجام می‌شود. نکته قابل توجه اینکه در سمت گیرنده کانال، ضرورت دارد زمان‌های وصول کلیه بسته‌های دریافتی تحت نظر قرار گیرد تا بتوان بسته‌های حاوی اطلاعات پوششی را مشخص و اطلاعات پوششی را از آن‌ها استخراج نمود.



شکل ۴. حالات مختلف کدگذاری کم‌پشت زمان‌های بین بسته‌ها

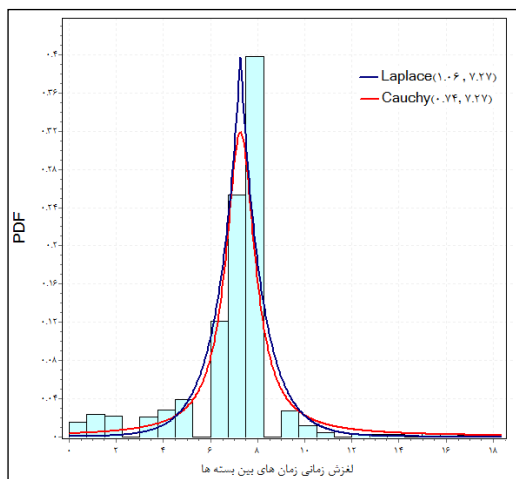
۲. نویزهای شبکه

گیرنده اطلاعات را بر اساس مشاهده فاصله بین دو بسته رسانه مجاور یکدیگری که دریافت می‌کند، کدگشایی می‌کند. البته اطلاعات کدگشایی شده ممکن است به طور کامل صحیح نباشند. دو عامل ممکن است باعث ایجاد خطأ در اطلاعات کدگشایی شده توسط گیرنده شود.

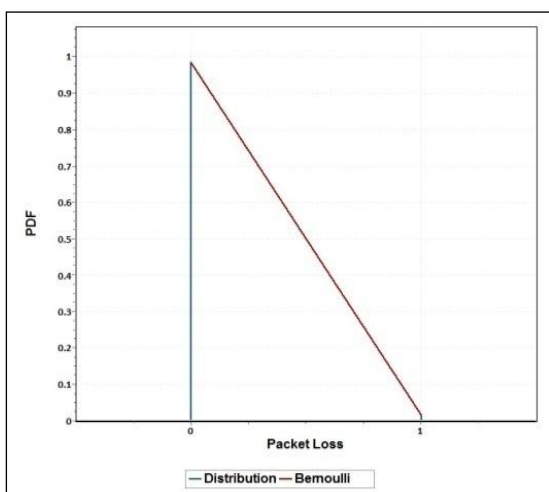
لغزش زمانی: این عامل همیشه در شبکه وجود دارد و نشان می‌دهد که تأخیرها در مورد بسته‌های مختلف، باهم متفاوت هستند و آن تأخیر در بین زمان‌های بین بسته‌های ارسالی از فرستنده و نظیر به نظری آن، در سمت گیرنده نیز با یکدیگر تفاوت دارند. اگر اندازه لغزش زمانی بسیار زیاد شود، گیرنده ممکن است مقدار

۱.۳. مدل نویزهای شبکه

جهت اطمینان از صحت نتایج تحقیق‌های پیش‌از این، اقدام به آزمایش بر روی مدل لغزش زمانی شبکه در شرایط مختلف نمودیم. لغزش‌های زمانی بین بسته‌ها، در ۵۰ سری داده‌ای که هر سری شامل ۵۰۰۰ بسته بود در بازه‌های زمانی متفاوتی از شباهه روز گردآوری گردید، شکل ۵ نتایج حاصل از آزمون نکوئی برآش بر روی داده‌های لغزش زمانی شبکه را نشان می‌دهد. در این بررسی مشاهده گردید که مدل لغزش زمانی در شبکه‌های مبتنی بر IP به طور معمول از توزیع لاپلاس تبعیت می‌نماید. به منظور انتخاب مدل مناسب گم‌شدن بسته‌ها آزمایش‌هایی لازم انجام شد. با توجه به نوع و ویژگی‌های کanal مشاهده گردید که مدل گم‌شدن بسته‌ها از نوع سیل آسا نیست، از طرفی خروجی آزمون نکوئی برآش، نشان داد که مدل رفتاری گم‌شدن بسته‌ها از توزیع مستقل برنولی تبعیت نماید. شکل ۶ این نتایج را نشان می‌دهد.



شکل ۵. نتیجه آزمون نکوئی برآش بر روی داده‌های لغزش زمانی شبکه، توزیع لاپلاس را نشان می‌دهد.



شکل ۶. نتیجه آزمون نکوئی برآش بر روی داده‌های مربوط به گم‌شدن بسته، توزیع برنولی را نشان می‌دهد.

جدول ۱. انواع مدل‌های گم‌شدن بسته در مطالعات پیشین در یک نگاه

| ردیف | رفتار گم‌شدن بسته‌ها | روش مدل‌سازی |
|------|--|-------------------------|
| ۱ | گم‌شدن بسته به صورت غیر سیل آسا (تصادفی) | مدل برنولی یا مدل مستقل |
| ۲ | گم‌شدن بسته به صورت سیل آسا | مدل دو وضعیتی گیلبرت |

۲.۵. شبکه پتری رنگی

شبکه پتری رنگی ابزار مناسبی برای مدل‌سازی ریاضی و گرافیکی به حساب می‌آید. از این ابزار می‌توان برای مدل‌سازی، توصیف و تحلیل سامانه‌هایی که دارای ماهیتی همزمان، غیر همزمان، توزیع شده، موازی، نامعین و اتفاقی استفاده نمود. در واقع شبکه‌های پتری جزء مدل‌هایی هستند که قادرند به صورت همزمان حالت و عملکرد یک سیستم را نشان دهند. شبکه‌های پتری رنگی علاوه بر آن که دارای ساختار و تعاریف ریاضی هستند از نمایش گرافیکی نیز برخوردارند که این ویژگی درک شبکه‌های پتری را افزایش می‌دهد. از دیگر خصوصیات مهم آن قابل اجرا بودن آن‌ها است که از همین خاصیت می‌توان برای ارزیابی رفتار و کارایی یک سیستم بهره برد. امروزه نرم‌افزارهای قوی شبیه‌سازی وجود دارند که براساس شبکه‌های پتری رنگی کار می‌کنند. این ابزارها قادرند با انواع پردازش‌ها، به بررسی مشکلات احتمالی سامانه‌ها و تولید فضای حالت پرداخته و عملکرد کلی سیستم را شبیه‌سازی نمایند.

شبکه‌های پتری رنگی مبتنی بر زمان: یکی از مفاهیمی که در ارزیابی کیفی کارایی باید مورد توجه قرار گیرد، بحث زمان است. در شبکه‌های پتری رنگی مفهوم زمان از طریق عنصری به نام «ساعت سرتاسری» معرفی می‌شود. مقادیری که این ساعت اختیار می‌کند، بیان کننده زمان مدل است. این زمان می‌تواند یک عدد صحیح باشد که نشانگر زمان گسسته است یا می‌تواند یک عدد حقیقی باشد که بیان کننده زمان پیوسته است. همان‌طور که می‌توان به هر نشانه^۱ مقداری منتبه کرد، می‌توان به هر نشانه مقدار زمانی نیز نسبت داد. به این مقدار زمانی مهر زمانی^۲ گفته می‌شود. مهر زمانی بیانگر اولین زمان مدل است که در آن نشانه می‌تواند مورد استفاده قرار گیرد و به وسیله‌ی اجرای انتقال از مکانی که حاوی آن بوده است، حذف می‌شود. در یک شبکه پتری رنگی مبتنی بر زمان، برای آنکه یک انتقال بتواند شلیک شود، لازم است که در حالت آماده قرار گیرد. زمانی انتقال در حالت آماده است که مهر زمانی نشانه‌های مکان‌های ورودی انتقال کوچک‌تر یا مساوی با زمان فعلی مدل باشد.

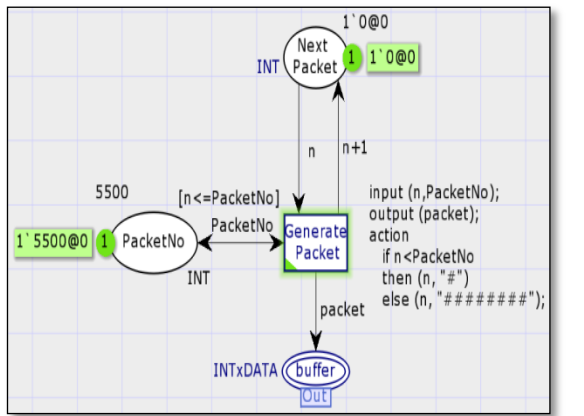
۳. شبیه‌سازی کanal زمان‌بندی‌دار پوششی

به منظور شبیه‌سازی کanal زمان‌بندی‌دار پوششی لازم است ابتدا مدل مناسبی از انواع نویزهای شبکه انتخاب گردد.

1. Token

2. Time Stamp

در بخش کد گذر Generate Packet، مقادیر محتواهی ارسالی هر بسته تنظیم می‌گردد. برای اعلام خاتمه تبادل بسته به گیرنده از رشته ”##### استفاده گردید. همچنین محتواهی تمام بسته‌های ارسالی به مقدار ”#“ تنظیم شده است.



شکل ۹. زیرمدل مولد بسته‌های شبکه

در حالت عادی هدف از ارتباط بین فرستنده و گیرنده و با استفاده از بستر شبکه اینترنت، تبادل محتوا (مقدار ”#“) است؛ اما در این کanal هیچ استفاده‌ای از محتواهی ارسالی نمی‌گردد، درواقع این رفتار بخشی از طبیعت عادی ارتباط بین فرستنده و گیرنده است.

کتابچه کد: برای تهیه کتابچه کد از روش کدگذاری ترکیبی استفاده شده است. روال کار بدین صورت است که ابتدا پیام محرمانه‌ای که باید از طریق کانال تبادل گردد در قالب یک فایل متنی دریافت می‌گردد، این فایل در برنامه جداول‌های بر اساس روش کدگذاری ترکیبی و با روش ۴-۲-بسته تبدیل به قالب زمان‌های بین بسته‌ای می‌شود. کتابچه کد مورد استفاده در شبیه‌سازی در جدول ۲ مشاهده می‌گردد.

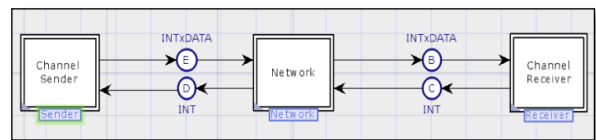
جدول ۲. کتابچه کد ترکیبی مورداستفاده در شبیه‌سازی

| | |
|------------------|------------------|
| '0000': [30,30], | '1000': [70,70], |
| '0001': [30,40], | '1001': [70,30], |
| '0010': [30,70], | '1010': [70,40], |
| '0011': [30,80], | '1011': [70,80], |
| '0100': [40,40], | '1100': [80,80], |
| '0101': [40,30], | '1101': [80,30], |
| '0110': [40,70], | '1110': [80,40], |
| '0111': [40,80], | '1111': [80,70] |

در برنامه‌ای مستقل، فایل متنی حاوی پیام محرمانه دریافت شده و با استفاده از این کتابچه کد، عمل تولید دنباله‌ای از زمان‌های بین بسته‌ها صورت می‌گیرد. این دنباله تولیدی به عنوان یک رشته ورودی درتابع() به عنوان پارامتر ورودی اول به کار گرفته می‌شود. بافرینگ بسته‌ها: پس از تولید بسته‌های رسانه، این بسته‌ها باید در محلی نگهداری شوند تا بر اساس زمان‌بندی که زیرمدل Packet Sender آن را معین می‌کند، جهت کدگذاری به زیرمدل

۳. شبیه‌سازی کانال

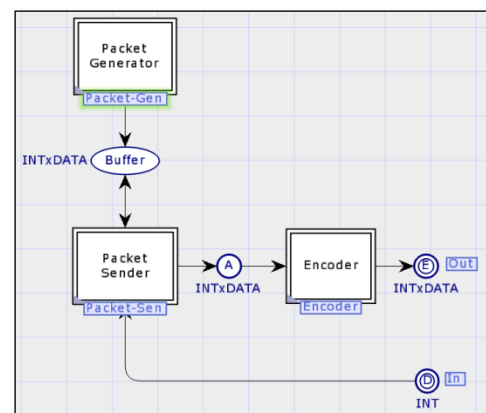
به منظور شبیه‌سازی کانال توسط شبکه پتری رنگی، از ابزار استفاده نموده‌ایم. در شکل ۷ شمای کلی کانال شبیه‌سازی شده مشاهده می‌گردد. این مدل شامل سه زیرمدل اصلی فرستنده کانال، شبکه اینترنت و گیرنده کانال است.



شکل ۷. شمای کلی کانال شبیه‌سازی شده با ابزار CPNTool

۴.۱. مدل فرستنده کانال

مدل فرستنده کانال دارای چند بخش اصلی، ورودی‌ها و خروجی‌هایی است. مولد اولیه بسته‌های رسانه، کتابچه کد، بافرینگ بسته‌ها، زیرمدل کدگذاری و توابع بخش فرستنده از مهم‌ترین بخش‌های این مدل است. شکل ۸ مدل فرستنده کانال را نشان می‌دهد. در مدل فرستنده ابتدا ترافیک اولیه ایجاد و سپس بافر می‌گردد، پس از آن بر اساس سازوکارهای کنترل زمانی، بسته‌ها به مدل کدگذاری وارد می‌شود. در این مدل ابتدا رفتار ترافیک بر اساس توزیع ویبول^۱ تغییریافته و پس از کدگذاری، ترافیک از سوی فرستنده به مدل شبکه ارسال می‌گردد.



شکل ۸. مدل فرستنده کانال

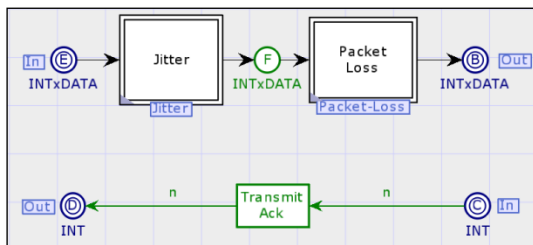
زیرمدل مولد اولیه بسته: در این بخش، بسته‌های شبکه با داشتن پارامترهای شماره ترتیب^۲، فاصله زمانی با بسته قبلاً از خود و محتوایی که هر بسته انتقال می‌دهد، تولید می‌گردد. شکل ۹ زیرمدل مولد بسته‌های شبکه را نشان می‌دهد. در مکان PacketNo مقداردهی‌های اولیه صورت می‌گیرد، تعامل بین مکان NextPacket گذر Generate Packet باعث تولید تعدادی بسته بنابر تنظیمات اولیه مکان PacketNo می‌شود. در اینجا ۵۵۰۰ بسته تولید می‌گردد.

1. Weibull Distribution
2. Sequence Number

پارامتر اول تابع Encoder() همان دنباله کتابچه کد است که بنا بر نیاز می‌تواند با مقادیر دیگری جایه جا گردد. لازم است یک بلوک ۵ عضوی بسازیم که ۲ عضو آن کدگذاری شده و ۳ عضو دیگر از توزیع ویبول پیروی نمایند. از این‌رو در تابع ابتدا ۲ عضو از ابتدای کتابچه کد را واکشی کرده و ۳ عضو دیگر با استفاده از تابع ویبول تولید می‌گردد. سپس در ۵ حالت مختلف که بر مبنای زمان‌های بین بسته‌ها است، این ۵ عضو تحت عمل چینش قرار گرفتند. در واقع ۵ چینش مختلف تولید می‌گردد که در هر فرآخوانی یکی از بلوک‌های پنج گانه به صورت تصادفی انتخاب می‌شود. درنهایت در هر مرحله که یک بسته به زیرمدل کدگذاری وارد می‌شود، یکی از عضوهای بلوک انتخاب‌شده توسط تابع Encoder() بازگردانده می‌شود. مقدار بازگشتی از مدل فرستنده کانال خارج شده و از طریق مدل شبکه اینترنت به سوی مدل گیرنده ارسال می‌گردد.

۲.۲.۳. مدل شبکه اینترنت

مدل شبکه اینترنت دارای چند زیرمدل، ورودی‌ها و خروجی‌هایی است. زیرمدل لغزش زمانی و زیرمدل گم‌شدن بسته از مهم‌ترین بخش‌های این مدل است که در ادامه به تشریح آن‌ها خواهیم پرداخت. شکل ۱۲ مدل شبکه اینترنت را نشان می‌دهد. در این مدل بسته‌هایی که فرستنده ارسال می‌کند، ابتدا تحت تأثیر لغزش زمانی شبکه قرار گرفته و سپس نویز گم‌شدن بسته‌ها بر روی آن‌ها اعمال می‌گردد. درنهایت بسته‌ها به گیرنده تحويل می‌گردد. در این مقاله از روش انتهای یویا جهت مدل نمودن رفتار ابر اینترنت استفاده گردید.

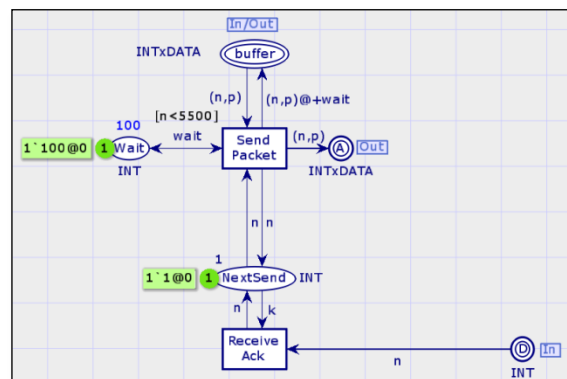


شکل ۱۲. مدل شبکه اینترنت

زیرمدل لغزش زمانی: زیرمدل لغزش زمانی متشکل از گذری است که دارای یک تابع زمانی است. تابع Jitter() تابعی است که برای مدل‌سازی رفتار لغزش زمانی شبکه از آن استفاده شده است. شکل ۱۳ زیرمدل لغزش زمانی شبکه را نشان می‌دهد. درواقع ابتدا لغزش زمانی شبکه بر روی فاصله زمانی بین بسته‌های ارسالی توسط فرستنده اعمال شده و سپس در گذر قرار گرفته است. به منظور مدل کردن رفتار لغزش زمانی شبکه با استفاده از توابع تولید اعداد تصادفی، داده‌هایی بر اساس توزیع لاپلاس و سایر توزیع‌هایی که در آزمایش‌ها مورد نیاز است، ایجاد شد. همچنین داده‌های ناشی از

کدگذاری ارسال گردد. مکان Buffer محلی است که به عنوان بافر این نقش را بر عهده دارد. در این مکان نشانه‌هایی از جنس INTxDATA قابل نگهداری هستند.

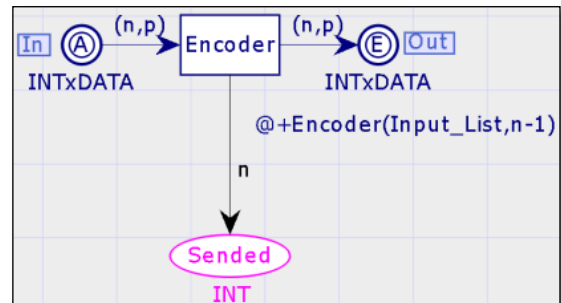
زیرمدل ارسال بسته: آخرین مقادیری که از مکان NextSend به گذر Send Packet ارسال می‌گردد، بیانگر این است که کدام بسته و با چه شماره ترتیبی به زیرمدل کدگذاری ارسال گردد. پس از اینکه بسته Ack مربوط به بسته قبلی ارسالی، از سوی گیرنده به سوی فرستنده ارسال شد، فرستنده اقدام به ارسال بسته بعدی می‌نماید و در صورت گم‌شدن بسته قبلی، آن بسته را تکرار خواهد نمود. شکل ۱۰ زیرمدل ارسال کننده بسته‌های شبکه را نشان می‌دهد. گذر Send Packet در صورتی اقدام به ارسال بسته می‌کند که علاوه بر این که نشانه موردنظر در بافر وجود داشته باشد، شرط پاسگان آن گذر نیز مانع ایجاد نکند. از پاسگان در اینجا به منظور کنترل تعداد ارسال‌ها استفاده شده است. تأخیر wait زمانی که ack یک بسته ارسالی نرسیده باشد و مقدار NextSend همان مقدار قبلی باشد، مرتباً همان بسته که ارسال شده است، به صورت تکراری ارسال می‌گردد.



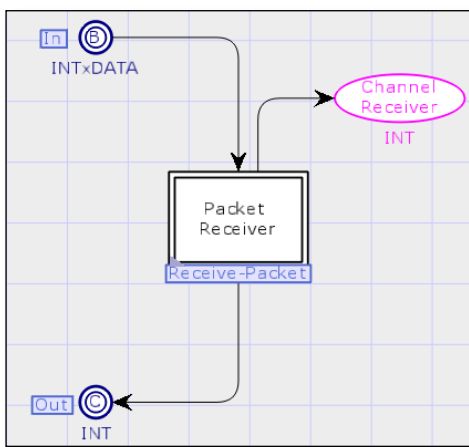
شکل ۱۰. زیرمدل ارسال کننده بسته‌های شبکه

زیرمدل کدگذاری: در این زیرمدل از تابع زمانی Encoder() که بر روی گذر قرار گرفته برای کدگذاری استفاده شده است.

شکل ۱۱ زیرمدل کدگذاری کانال را نشان می‌دهد.

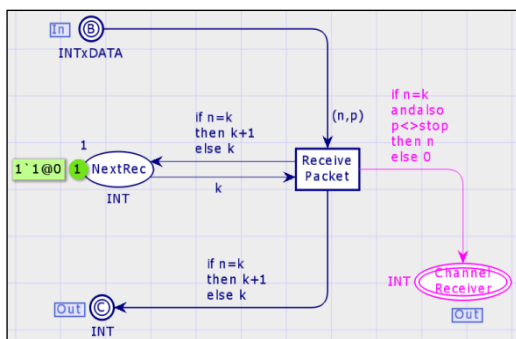


شکل ۱۱. زیرمدل کدگذاری کانال



شکل ۱۵. مدل گیرنده کانال

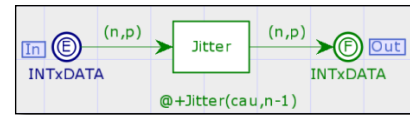
زیرمدل گیرنده بسته: از مکان NextRec به همراه دو کمان متصل، برای ایجاد یک شمارنده استفاده شده است. مقدار اولیه این شمارنده "۱" تنظیم شده است. این بدان معنی است که اولین بسته‌ای را که دریافت می‌کند با مقدار "۱" مقایسه می‌کند، درصورتی که مقدار شماره ترتیب اولین بسته دریافتی با مقدار اولیه مکان NextRec برابر باشد، به مقدار K یک واحد اضافه می‌کند؛ یعنی مقدار شمارنده یکی افزایش یافته است. شکل ۱۶ زیرمدل گیرنده بسته را نشان می‌دهد. بر روی کمان ورودی به مکان A، تابع مربوط به مدل packet_Loss() رفتار گم شدن بسته‌ها پیاده شده است. تابع LostPack() خود، از توزیع مستقل برنولی استفاده می‌کند. مکان C بسته‌های گم شده و تعداد آن‌ها را نگهداری می‌کند.



شکل ۱۶. زیرمدل گیرنده بسته

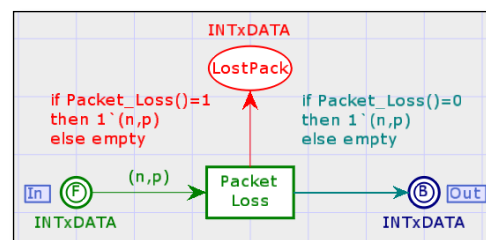
مکان گیرنده کانال: از طرفی اگر $n=k$ باشد به طور همزمان با سایر خروجی‌های گذر Receive packet، با استفاده از شرط ایجاد شده بر روی کمان متصل به مکان Channel Receiver، شماره ترتیب و متغیر زمان این مدل در مکان Channel Receiver وارد شده و گردآوری می‌گردد. آنچه در این مکان جمع‌آوری می‌شود درواقع همان شماره ترتیب و فاصله زمانی بین بسته‌ها است. این داده‌ها جهت بررسی ظرفیت، خطای انتقال، خطای کدگشایی و سایر

آزمایش‌های فضای واقعی نیز به منظور به کارگیری در تولید لغزش زمانی شبکه آماده‌سازی گردید. این داده‌ها به عنوان پارامتر اول تابع Jitter() به کار گرفته شده‌اند.



شکل ۱۷. زیرمدل نویز لغزش زمانی شبکه

زیرمدل گم شدن بسته: محدوده نرخ گم شدن بسته‌ها در شرایط عادی شبکه بین صفر تا ۰٪ است. در اینجا مقدار اولیه آن ۲۵٪ تنظیم گردید. شکل ۱۴ مدل گم شدن بسته‌های شبکه را نشان می‌دهد. بر روی کمان ورودی به مکان A، تابع مربوط به مدل packet_Loss() رفتار گم شدن بسته‌ها پیاده شده است. تابع LostPack() خود، از توزیع مستقل برنولی استفاده می‌کند. مکان C بسته‌های گم شده و تعداد آن‌ها را نگهداری می‌کند.



شکل ۱۷. زیرمدل نویز گم شدن بسته

گذر Transmit Ack: در مدل شبکه اینترنت، مکان C بسته‌های دریافتی از مدل گیرنده را به گذر Transmit Ack انتقال می‌دهد. مکان D بسته‌های Ack دریافتی از گذر Transmit Ack را به مدل فرستنده کانال ارسال می‌نماید. درواقع گذر Transmit Ack به همراه مکان‌های C، D و کمان‌های مرتب، مسیری است که گیرنده بسته از آن طریق تأییدیه دریافت بسته‌های قبلی را به فرستنده ارسال می‌نماید. در شکل ۱۷ گذر ۱۲ گذر Transmit Ack، کمان‌ها و مکان‌های مرتب نشان داده شده است.

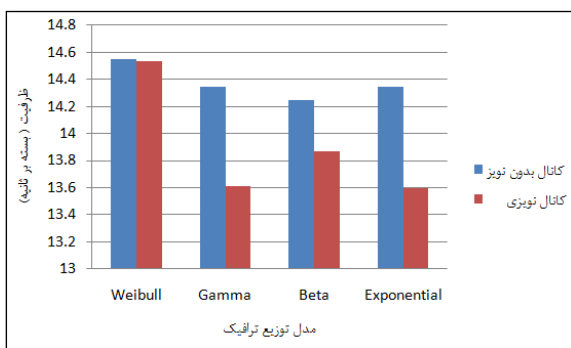
۳.۲.۳. مدل گیرنده کانال

زیرمدل گیرنده بسته و مکان گیرنده کانال مهم‌ترین بخش‌های این مدل هستند که در ادامه تشریح خواهند شد. شکل ۱۵ مدل گیرنده کانال را نشان می‌دهد. مدل گیرنده کانال، از طریق مکان B بسته‌های ارسالی توسط مدل شبکه اینترنت را دریافت می‌نماید. پس از بررسی بسته‌ها، آن‌هایی را که موردنیاز است و قبلاً دریافت نکرده است را برداشت و سایرین را دور می‌ریزد. در ادامه شماره ترتیب بسته‌های موردنیاز خود را به ترتیب از طریق مدل شبکه اینترنت به فرستنده کانال می‌فرستد و از این طریق به فرستنده می‌فهماند که چه بسته‌ای با چه شماره ترتیبی را نیاز دارد.

آزمایش ۱: تأثیر مدل ترافیک فرستنده بر ظرفیت کanal برای انجام این آزمایش پارامترهای توزیع‌های ویبول، گاما، بتا و نمایی به دست آمد و مورداستفاده قرار گرفت. جدول ۴ نتایج آزمایش را نشان می‌دهد. شکل ۱۷ نیز نمودار اثرات ناشی از تغییر در مدل ترافیک عادی فرستنده بر ظرفیت کanal را نشان می‌دهد.

جدول ۴. بررسی اثر مدل ترافیک عادی فرستنده بر روی ظرفیت کanal

| Exponential (48.07) | Beta (10.935, 0.24418) | Gamma (0.09757, 0.21322) | Weibull (0.00512, 0.32868) | توزیع |
|------------------------|------------------------------|--------------------------------|----------------------------------|---------------------------|
| ۱۴۷/۱۲۸ | ۱۴۴,۳۰۶۷ | ۱۴۶,۹۶۰۳ | ۱۳۷,۶۵۲ | زمان شبیه‌سازی (ثانیه) |
| ۲۰۰۰,۵۹ | ۲۰۰۰,۳۱۷ | ۲۰۰۰,۶۵۱ | ۲۰۰۰,۴۳ | بسته‌های عضو کanal |
| ۱۴,۳۴۶۹ | ۱۴,۲۴۵۱ | ۱۴,۳۴۵۷ | ۱۴,۵۴۶۱ | ظرفیت کanal بدون نویز |
| ۱۳,۵۹۹۰ | ۱۳,۸۶۵۸ | ۱۳,۶۱۳۶ | ۱۴,۵۲۲۴ | ظرفیت کanal با نویز |



شکل ۱۷. نمودار تأثیر مدل ترافیک عادی فرستنده بر ظرفیت کanal

تحلیل نتایج آزمایش ۱

داده‌های جدول ۴ و شکل ۱۷ نشان می‌دهد که ظرفیت کanal پوششی، زمانی که مدل فرستنده از توزیع ویبول پیروی می‌کند نسبت به شرایطی که از توزیع‌های گاما، بتا و نمایی استفاده می‌کند بیشتر است. در این شرایط مقدار ظرفیت کanal نویزی ۱۴,۵۳۲۴ بسته بر ثانیه به دست آمد. این در حالی است که ظرفیت کanal در سایر توزیع‌ها، نزدیک به ۱ بسته بر ثانیه کمتر از این مقدار است. این تفاوت آشکار در ظرفیت بیانگر اثر قابل توجه به کارگیری توزیع ویبول در زمان مدل کردن رفتار عادی فرستنده کanal است. در شرایطی که کanal دارای نویز است، ظرفیت کanal در حد ناچیزی کمتر از شرایطی است که کanal عاری از نویز است.

نیازمندی‌های آماری کanal استفاده می‌شود. مکان گیرنده کanal در شکل ۱۶ قابل مشاهده است.

۴.۲.۴. درستی‌سنجه^۱ مدل

آخرین گامی که در خاتمه مدل‌سازی و شبیه‌سازی باید انجام داد، بررسی صحت عملکرد مدل است. به این منظور مدل نهایی ایجاد شده، با استفاده از ابزار State Space موجود در CPNTools تحت عمل درستی‌سنجه قرار گرفت. آزمایش‌های درستی یابی وقوع هیچ خطای را نشان نمی‌دهد و صحت عملکرد مدل را تأیید می‌نماید.

۴. آزمایش‌ها و تحلیل نتایج

برای اجرای مدل شبیه‌سازی شده، مفروضاتی وجود دارد که باید مشخص گردد. آزمایش‌های این تحقیق بر روی سه موضوع تمرکز دارند. بر اساس هر کدام از این موضوع‌ها، مفروضات ویژه‌ای بر مدل شبیه‌سازی شده حاکم خواهد بود. در ادامه ابتدا این شرایط و مفروضات تعیین شده و سپس آزمایش‌ها انجام می‌شوند.

۴.۱. تأثیر مدل و پارامترهای ترافیک فرستنده بر کارایی کanal

یکی از رفتارهایی که مانع کاهش یا از بین رفتن نامحسوسی کanal می‌گردد، پیروی رفتار پروتکل ارتباطی مورداستفاده در کanal، از رفتار عادی همان پروتکل در شبکه اینترنت است. ابهامی که وجود دارد این است که مدل ترافیک فرستنده آیا علاوه بر نامحسوسی بر روی معیارهای ظرفیت و استحکام کanal نیز اثری خواهد داشت. در این آزمایش‌ها فرضیاتی مطرح است که جدول ۳ شرایط انجام آزمایش، مقادیر و پارامترهای ثابت را نشان می‌دهد. آزمایش‌ها نشان داد که ترافیک HTTP از مدل ویبول پیروی می‌کند. به منظور بررسی تأثیرات ناشی از انتخاب مدل ترافیک عادی در شبکه، مدل فرستنده با استفاده از توزیع‌های ویبول، گاما، بتا و نمایی و با پارامترهای مختلف ایجاد گردید. در ادامه با به کارگیری مدل شبیه‌سازی شده و فرضیات ارائه شده در جدول ۳ آزمایش‌ها انجام خواهد شد.

جدول ۳. شرایط انجام آزمایش، مقادیر و پارامترهای ثابت

| شرایط آزمایش | مقادیر یا پارامترها |
|-----------------|--------------------------|
| تعداد بسته‌ها | ۵۰۰۰ |
| مدل لغزش زمانی | Laplace(1.06, 7.27) |
| مدل گم شدن بسته | Bernoulli(0.00025) |
| ظرفیت هر بلوك | ۵ |
| کدگذاری | کمپیشت، ۲ بسته از ۵ بسته |

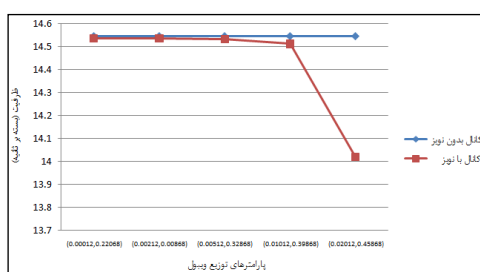
تحلیل نتایج آزمایش ۲

نتایج نشان می‌دهد که استفاده از توزیع ویبول برای مدل نمودن رفتار فرستنده کانال، در ترافیک HTTP بیشترین نرخ استحکام را دارد و بالعکس استفاده از توزیع بتا بیشترین خطای را تولید کرده و کانال در این شرایط کمترین استحکام را دارد. نرخ استحکام کانال نویزی در وضعیت به کارگیری توزیع بتا ۹۸/۷۱ به دست آمد، همین نرخ در وضعیت به کارگیری توزیع ویبول ۹۹/۴۲ به دست آمد. در این آزمایش نرخ خطای لغزش زمانی شبکه و گم شدن تغییر جدی ندارد. لذا منحنی خطای کدگشایی در وضعیت نویزی و فاقد نویز، دارای شبیه متناسبی نسبت به هم هستند؛ اما سؤال این است که اگر نرخ خطای لغزش زمانی و گم شدن بسته‌ها ثابت است، پس علت کاهش شدید استحکام مدل‌های دیگر نسبت به ویبول چیست؟ بررسی نشان داد که این خطای ناشی از محدوده داده‌های تولیدشده توسط توزیع‌ها است. هرچه دامنه اعداد تولیدی توسط این توزیع‌ها گسترده‌تر باشد، نرخ خطای نیز بیشتر خواهد بود. پیش از این تصور این بود که استفاده از توزیع ویبول فقط باعث افزایش نرخ نامحسوسی کانال خواهد شد؛ اما این آزمایش نشان داد که به کارگیری این توزیع باعث بهبود استحکام و ظرفیت کانال نسبت به سایر توزیع‌ها خواهد شد.

آزمایش ۳: تأثیر پارامترهای مدل فرستنده بر ظرفیت کانال به منظور ارزیابی اثر ناشی از تغییر پارامتر توزیع ویبول بر روی ظرفیت و استحکام کانال، تعداد ۵۰۰ آزمایش صورت گرفت. این آزمایش‌ها براساس فرضیات جدول ۳ انجام شد. در این آزمایش پارامترهای توزیع ویبول به صورت یکنواخت افزایش یافته‌اند. جدول ۶ چکیده‌ای از نتایج حاصل را نشان می‌دهد. شکل ۲۰ نتایج حاصل از تغییر پارامترهای مدل فرستنده یعنی توزیع ویبول را بر روی ظرفیت کانال نویزی و ظرفیت کانال عاری از نویز نشان می‌دهد.

جدول ۶. نتایج آزمایش پارامترهای مدل فرستنده بر روی ظرفیت کانال

| پارامترهای توزیع ویبول | کانال بدون نویز | کانال با نویز | کانال بدون نویز | کانال با نویز | کانال بدون نویز | کانال با نویز |
|------------------------|----------------------|----------------------|----------------------|----------------------|----------------------|----------------------|
| ۰.۰۰۰۱۲، ۰.۰۲۰۶۸) | ۰.۰۰۲۱۲، ۰.۰۰۸۶۸) | ۰.۰۰۵۱۲، ۰.۳۲۸۶۸) | ۰.۰۱۰۱۲، ۰.۳۹۸۶۸) | ۰.۰۲۰۱۲، ۰.۴۵۸۶۸) | ۰.۰۰۰۱۲، ۰.۰۲۰۶۸) | ۰.۰۰۲۱۲، ۰.۰۰۸۶۸) |
| ۱۳۷,۶۲۲۰ | ۱۳۷,۶۲۱۰ | ۱۳۷,۶۵۲۷ | ۱۳۷,۶۵۵۰ | ۱۴۲,۶۲۶ | ۱۴۵,۴۶۱ | ۱۴۵,۴۶۱ |
| ۱۴۵,۴۶۱ | ۱۴۵,۴۶۱ | ۱۴,۵۴۶۱ | ۱۴,۵۴۶۱ | ۱۴,۵۴۶۱ | ۱۴,۵۳۵۴ | ۱۴,۵۳۵۵ |
| ۱۴,۵۳۵۴ | ۱۴,۵۳۵۵ | ۱۴,۵۳۲۲ | ۱۴,۵۱۲۰ | ۱۴,۰۱۸۳ | ۱۴,۰۱۸۳ | ۱۴,۰۱۸۳ |



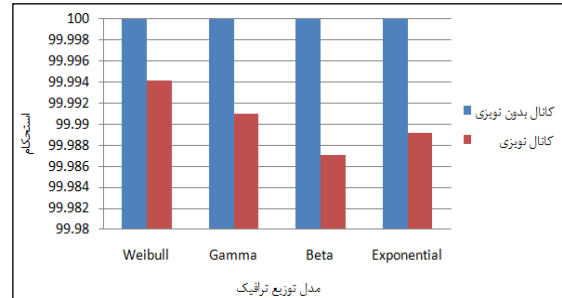
شکل ۲۰. نمودار تغییر پارامترهای مدل فرستنده و اثر آن بر ظرفیت کانال

آزمایش ۲: تأثیر مدل ترافیک فرستنده بر استحکام کانال

با توجه به اینکه از روش کدگذاری ۴- بیت به ۲- بسته استفاده شده است، درنتیجه هر بسته بیانگر دو بیت اطلاعات است، لذا اگر برای مثال یک بسته گم شود، این به معنی از دست دادن دو بیت اطلاعات پوششی است. خطای انتقال کانال بر زمان کل (ثانیه). حاصل تقسیم تعداد بسته‌های گم شده کانال بر زمان کل (ثانیه). جدول ۵ نتایج حاصل از تغییر مدل‌های ترافیک عادی فرستنده بر روی استحکام کانال را نشان می‌دهد. شکل ۱۸ نمودار تأثیر تغییر مدل ترافیک عادی فرستنده بر روی استحکام کانال را در دو حالت کانال نویزی و کانال فاقد نویز نشان می‌دهد.

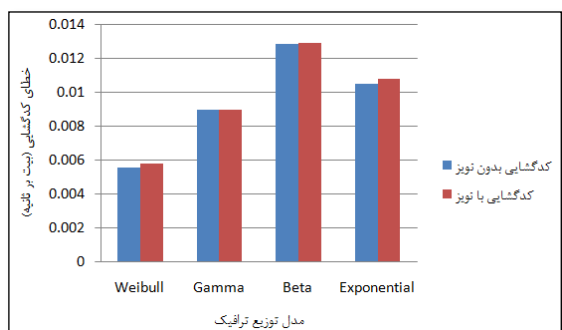
جدول ۵. اثر مدل ترافیک عادی فرستنده بر روی استحکام کانال

| Exponentia - (48.07) | Beta (10.935, 0.24418) | Gamma (0.09757, 0.21322) | Weibull (0.00512, 0.32868) | توزیع |
|----------------------|------------------------|--------------------------|----------------------------|-------------------------|
| ۰,۰۱۰۸۰ | ۰,۰۱۲۹ | ۰,۰۰۹۰ | ۰,۰۰۵۸۳۱۲۰ | خطای کدگشایی با نویز |
| ۰,۰۱۰۵۳ | ۰,۰۱۲۸۶۹۰ | ۰,۰۰۸۹۷۸ | ۰,۰۰۵۵۸۵ | خطای کدگشایی بدون نویز |
| ۹۹,۹۸۹۲ | ۹۹,۹۸۷۱ | ۹۹,۹۹۱۰ | ۹۹,۹۹۴۱ | استحکام کانال نویزی |
| ۱۰۰ | ۱۰۰ | ۱۰۰ | ۱۰۰ | استحکام کانال بدون نویز |

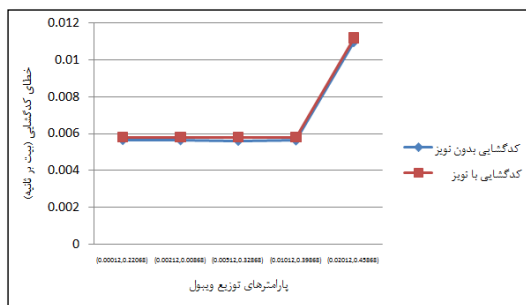


شکل ۱۸. نمودار تأثیر تغییر مدل ترافیک عادی فرستنده بر استحکام کانال

شکل ۱۹ نمودار تأثیر مدل ترافیک عادی فرستنده بر خطای کدگشایی کانال را در دو وضعیت کانال نویزی و کانال فاقد نویز نشان می‌دهد.



شکل ۱۹. تأثیر مدل ترافیک عادی فرستنده بر خطای کدگشایی کانال



شکل ۲۲. نمودار پارامترهای مدل فرستنده و اثر آن بر خطای کدگشایی

تحلیل نتایج آزمایش ۳

نتایج نشان می‌دهد که استفاده از پارامترهای مختلف توزیع و بیول تأثیر قابل توجهی بر ظرفیت کanal دارد. مقادیر ظرفیت به دست آمده در ستون چهارم و سیتون پنجم جدول ۶ نشان می‌دهد که اگر میزان انحراف مقادیر پارامتر توزیع و بیول از آستانهای خارج گردد، بهشت بر روی ظرفیت کanal تأثیر گذاشته و آن را کاهش می‌دهد. در اینجا بین مقادیر ستون چهارم و پنجم نزدیک به ۰/۵ بسته بر ثانیه اختلاف در ظرفیت کanal وجود دارد. لذا در انتخاب پارامترهای توزیع و بیول دقت بسیاری لازم است.

آزمایش ۴: تأثیر پارامترهای مدل فرستنده بر استحکام کanal

تغییر در پارامترهای مدل فرستنده ممکن است بر روی خطای کدگشایی تأثیر داشته باشد. جدول ۷ نتایج و داده‌های ناشی از آزمایش بررسی اثر تغییر پارامترهای توزیع و بیول را بر روی استحکام کanal به همراه نرخ خطاهای نشان می‌دهد. در شکل ۲۱ به طور واضح تری اثرات ناشی از تغییر پارامترهای توزیع و بیول بر روی استحکام کanal قابل مشاهده است.

جدول ۷. نتایج آزمایش پارامترهای مدل فرستنده بر روی استحکام کanal

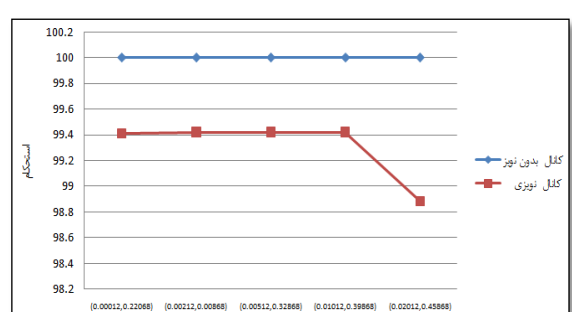
| پارامترهای توزیع و بیول | خطای کدگشایی با نویز | خطای کدگشایی بدون نویز | استحکام کanal نویزی | استحکام کanal بدون نویز |
|-------------------------|----------------------|------------------------|---------------------|-------------------------|
| (0.000112, 0.22068) | ۰.۰۰۰۵۸ | ۰.۰۰۰۵۸ | ۹۹.۴۱۰ | ۱۰۰ |
| (0.002112, 0.00868) | ۰.۰۰۰۵۸ | ۰.۰۰۰۵۸ | ۹۹.۴۲۱ | ۱۰۰ |
| (0.005112, 0.31268) | ۰.۰۰۰۵۸ | ۰.۰۰۰۵۸ | ۹۹.۴۲۱ | ۱۰۰ |
| (0.010112, 0.39868) | ۰.۰۰۰۵۸ | ۰.۰۰۰۵۸ | ۹۸.۸۸۵ | ۱۰۰ |
| (0.020112, 0.45868) | ۰.۰۰۰۱۲ | ۰.۰۰۰۱۲ | ۹۸.۸۸۵ | ۱۰۰ |

بررسی‌های بیشتر نشان داد که علت این خطای در کدگشایی این است که تغییر پارامترهای توزیع و بیول باعث شده است که به‌یکباره برخی مقادیر زمانی تولیدشده توسط این توزیع، خارج از محدوده ۲DR قرار گیرد، درنتیجه به‌یکباره نرخ خطای کدگشایی افزایش یافته است. در اصل با تغییر پارامترهای توزیع و بیول، شکل منحنی تابع توزیع احتمال و بیول در راستای محور X کمی کشیده‌تر شده است.

۴.۲. تأثیر مدل و پارامترهای لغزش زمانی بر کارایی کanal
از مهم‌ترین عوامل مؤثر بر کارایی یک ارتباط انتهای به انتهای پویا نویز لغزش زمانی است. در این قسمت ابتدا به معرفی فرضیات آزمایش پرداخته و در ادامه آزمایش‌های سنجش کارایی را انجام می‌دهیم. جدول ۸ فرضیات، پارامترها و مقادیر اولیه شبیه‌سازی را نشان می‌دهد.

آزمایش ۵: تأثیر مدل لغزش زمانی بر ظرفیت کanal

نتایج آزمایش‌های مربوط به مدل لغزش زمانی نشان داد که توزیع لاپلاس به خوبی قادر به مدل نمودن رفتار لغزش زمانی شبکه است. در ادامه آزمایش‌های کارایی بر روی توزیع‌های لاپلاس، نرمال، لجستیک و کوشی انجام شده است.



شکل ۲۱. نمودار اثر پارامترهای مدل فرستنده بر استحکام کanal

شکل ۲۲ نتایج دقیق‌تری از خطاهای کدگشایی کanal در دو وضعیت دارای نویز و عاری از نویز با توجه به تغییر پارامترهای توزیع و بیول را نشان می‌دهد.

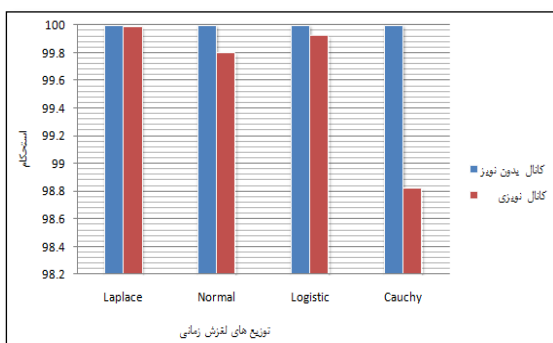
محرب این لغزش زمانی در کدگشایی در سمت گیرنده، تمرکز گردید. تا پیش از این در سایر آزمایش‌ها چون از مدل نویز مناسب لاپلاس استفاده می‌شد، خطای رخداده در حد قبل قبول بود و به طور مستقل بر روی آن بحث نشد؛ اما در این قسمت، به واسطه رخداد خطاهای گستره از سوی این نویز، بر روی آن تمرکز بیشتری شده است. انتخاب پارامترهای مناسب برای مدل نمودن لغزش زمانی شبکه حیاتی است. در غیر این صورت نرخ خطا از حد متعارف بیشتر شده و کدگشایی خود را از دست خواهد داد.

کانال کارایی خود را از دست خواهد داد.

در این آزمایش مدل شبیه‌سازی شده برای هر یک از توزیع‌های لاپلاس، نرمال، لجستیک و کوشی، ۱۰۰ بار اجرا گردید و خطاهای گم‌شدن بسته، لغزش زمانی و کدگشایی مورد تست جلسه قرار گرفت. جدول ۱۰ نتایج حاصل از آزمایش‌ها بر روی استحکام کانال را نشان می‌دهد. همان‌گونه که شکل ۲۴ نشان می‌دهد، در زمان به کارگیری کانال پوششی بر روی این توزیع‌ها، توزیع کوشی دارای پایین‌ترین سطح استحکام است و توزیع لاپلاس بالاترین نرخ استحکام را دارد. در شکل ۲۵ نرخ وقوع خطاهای کدگشایی، گم‌شدن بسته و لغزش زمانی برای توزیع‌های کوشی، لجستیک، نرمال و لاپلاس مشاهده می‌گردد. توزیع کوشی دارای بالاترین نرخ خطای کدگشایی است.

جدول ۱۰. بررسی اثر مدل نویز لغزش زمانی بر روی استحکام کانال

| توزيع لغزش زمانی | Laplace | Normal | Logistic | Cauchy |
|----------------------------------|---------|---------|----------|----------------|
| خطای گم‌شدن بسته (بسته بر ثانیه) | ۰,۰۰۱۹ | ۰,۰۰۱۹ | ۰,۰۰۱۸ | ۰,۰۰۱۹ |
| خطای لغزش زمانی (بسته بر ثانیه) | ۰,۰۰۵۹ | ۰,۰۹۷۵ | ۰,۰۳۶۵ | ۰,۵۸۸ |
| خطای کدگشایی (بیت بر ثانیه) | ۰,۰۱۵۶ | ۰,۱۹۸۶ | ۰,۰۷۶۸ | ۱,۱۷۹۸ |
| استحکام کانال نویزی | ۹۹,۹۸۴۴ | ۹۹,۸۰۱۴ | ۹۹,۹۲۲۲ | ۹۸,۸۲۰۲ |
| استحکام کانال بدون نویز | ۱۰۰ | ۱۰۰ | ۱۰۰ | ۰,۵۹۴۸، ۷,۳۴۵۴ |



شکل ۲۴. توزیع‌های مختلف لغزش زمانی و اثر آن بر استحکام کانال

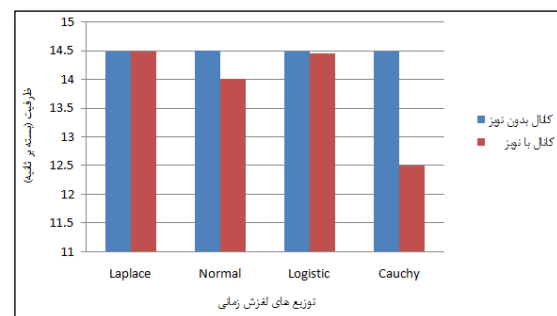
جدول ۸. شرایط انجام آزمایش، مقادیر و پارامترهای ثابت

| شرایط آزمایش | مقادیر یا پارامترها |
|-----------------|---------------------------|
| تعداد بسته‌ها | ۵... |
| مدل فرستنده | weibull(0.00512, 0.32868) |
| مدل گم‌شدن بسته | beroulli(0.00025) |
| ظرفیت هر بلوك | ۵ |
| روش کدگذاری | کم‌پشت، ۲ بسته از ۵ بسته |

جدول ۹ نتایج ناشی از آزمایش بررسی اثر مدل‌های نویز لغزش زمانی بر روی ظرفیت کانال را نشان می‌دهد. شکل ۲۳ نیز نمودار نتایج حاصل از این آزمایش را نشان می‌دهد.

جدول ۹. بررسی اثر مدل نویز لغزش زمانی بر روی ظرفیت کانال

| توزيع لغزش زمانی | Cauchy (0,5948, 7,3454) | Logistic (0,73137, 7,3515) | Normal (1,3266, 7,3515) | Laplace (1,0661, 7,3515) |
|------------------------|-------------------------|----------------------------|-------------------------|--------------------------|
| زمان شبیه‌سازی (ثانیه) | ۱۴,۴۴۱۳ | ۱۳۸,۱۵۲ | ۱۴۲,۷۹۳ | ۱۳۴,۹۸۷ |
| ظرفیت کانال با نویز | ۱۲,۴۹۱۹ | ۱۴,۴۵۹۸ | ۱۴,۰۱۱۴ | ۱۴,۴۹۱۹ |
| ظرفیت کانال بدون نویز | ۱۴,۴۹۲۱ | ۱۴,۴۹۱۲ | ۱۴,۴۹۴۵ | ۱۴,۴۹۳۷ |



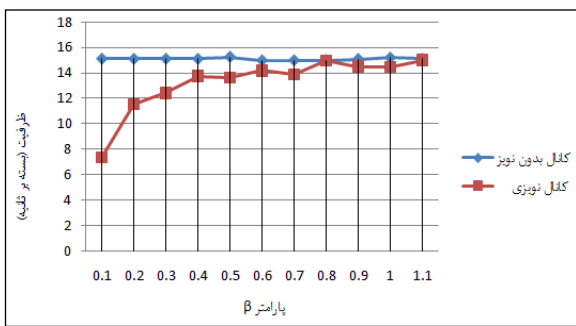
شکل ۲۳. نمودار توزیع‌های مختلف لغزش زمانی و اثر آن بر ظرفیت کانال

تحلیل نتایج آزمایش ۵

این آزمایش نشان داد که توزیع لاپلاس بیشترین ظرفیت را برای کانال پوششی تأمین می‌نماید. توزیع نرمال و کوشی به خوبی قادر به مدل نمودن رفتار لغزش زمانی شبکه نیستند و توزیع لجستیک با تقریب مناسب‌تری نسبت به دو توزیع دیگر، قادر به مدل نمودن رفتار لغزش زمانی شبکه است.

آزمایش ۶: تأثیر مدل لغزش زمانی بر استحکام کانال

استحکام نقطه مقابل نرخ خطاست. پس اندازه‌گیری نرخ خطابه نوعی همان اندازه‌گیری استحکام است. در ادامه به منظور سنجش میزان استحکام کانال با توجه به تغییرات لغزش زمانی، بر روی اثرات

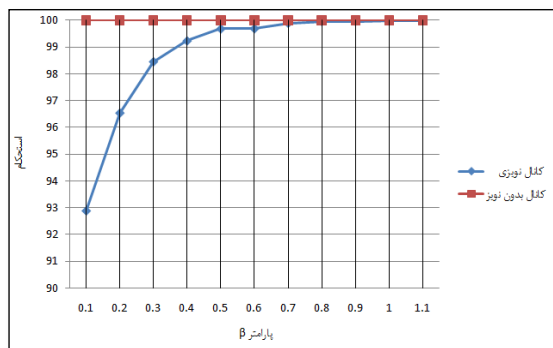
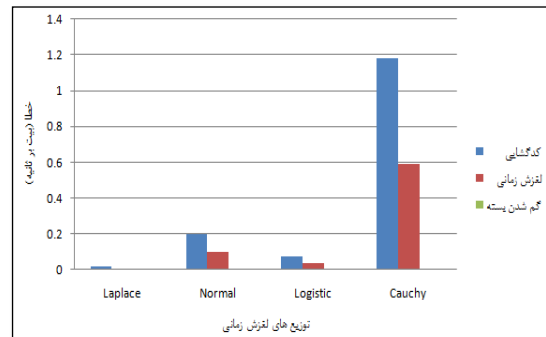
شکل ۲۶. نمودار اثر پارامتر β توزیع لапلاس بر روی ظرفیت کanal

آزمایش ۸: تأثیر پارامترهای مدل لغزش زمانی بر استحکام کanal
در این آزمایش انواع خطاهای ناشی از نوسان پارامتر β توزیع لپلاس، موردنیجش قرار گرفت. خطای لغزش زمانی، به طور مستقل، بررسی شد. جدول ۱۱ نتایج آزمایش تغییر پارامتر β توزیع لپلاس، با میانه ۷/۳۵۱۵ را بر روی استحکام کanal پوششی نشان می‌دهد.
شکل ۲۷ نتایج این آزمایش را نمایش می‌دهد.

جدول ۱۱. نتایج آزمایش پارامتر β توزیع لپلاس، بر روی استحکام کanal

| استحکام کanal نویزی (بیت بر ثانیه) | خطای گم شدن بسته - (بیت بر ثانیه) | خطای کدگشایی (بیت بر ثانیه) | خطای لغزش زمانی (بیت بر ثانیه) | محدوده نوسان لغزش زمانی | توزیع لپلاس |
|---|---|--------------------------------------|--|----------------------------------|----------------|
| ۹۲,۸۷۹ | ۰,۰۰۴۳ | ۷,۱۱۶۷ | ۷,۱۰۸۱ | ۱۸۳ | .۱ |
| ۹۶,۵۳۸۷ | ۰,۰۰۴۵ | ۳,۴۵۶۸ | ۳,۴۴۷۸ | ۹۶ | .۰۲ |
| ۹۸,۴۵۶۴ | ۰,۰۰۴۲ | ۱,۵۳۹۴ | ۱,۵۳۱ | ۵۴ | .۰۳ |
| ۹۹,۲۳۴۸ | ۰,۰۰۴۴ | ۰,۷۶۰۸ | ۰,۷۵۲ | ۴۰ | .۰۴ |
| ۹۹,۶۸۳۱ | ۰,۰۰۴۲ | ۰,۲۱۲۷ | ۰,۳۰۴۳ | ۳۳ | .۰۵ |
| ۹۹,۶۹۱۵ | ۰,۰۰۴۳ | ۰,۳۰۴۲ | ۰,۲۹۵۶ | ۳۱ | .۰۶ |
| ۹۹,۸۹۸ | ۰,۰۰۴۲ | ۰,۰۹۷۸ | ۰,۰۸۹۴ | ۲۴ | .۰۷ |
| ۹۹,۹۵۹۵ | ۰,۰۰۴۵ | ۰,۰۳۶ | ۰,۰۲۷ | ۲۲ | .۰۸ |
| ۹۹,۹۶۶۵ | ۰,۰۰۴۴ | ۰,۰۲۹۱ | ۰,۰۲۰۳ | ۲۱ | .۰۹ |
| ۹۹,۹۷۵۵ | ۰,۰۰۴۳ | ۰,۰۲۰۲ | ۰,۰۱۱۶ | ۱۶ | .۱۰ |
| ۹۹,۹۸۲۳ | ۰,۰۰۴۲ | ۰,۰۱۱۸ | ۰,۰۰۲۹ | ۱۴ | .۱۱ |

B

شکل ۲۷. نمودار پارامتر β توزیع لپلاس و رابطه آن با استحکام کanal

شکل ۲۵. نمودار توزیع های مختلف لغزش زمانی و انواع خطاهای کanal

تحلیل نتایج آزمایش ۶

نتایج آزمایش ها بر روی استحکام کanal نشان داد که توزیع لپلاس دارای کمترین نرخ خطا و بیشترین نرخ استحکام است. توزیع های کجستیک و نرمال پس از آن قرار دارند. در بررسی داده های تولیدی توسط مولد اعداد تصادفی کوشی ملاحظه شد که پراکندگی بیش از حد داده های تولیدی، باعث خروج فاصله های زمانی بین بسته ها از محدوده 2DR شده است. این رخداد باعث وقوع خطاهای معکوس شدن بسته شده است. درنتیجه داده های پوششی دریافتی مقادیر صحیحی نیستند. در این بررسی مشاهده شد که هر چه شکل منحنی تابع تیزتر و دارای قاعده باریک تری باشد، نتایج مناسبتری تولید می کند و نرخ خطاهای کدگشایی کاهش می یابد. در این آزمایش بیشترین نرخ خطا مربوط به خطای کدگشایی است و نرخ خطای گم شدن بسته تغییر محسوسی پیدا نکرد.

آزمایش ۷: تأثیر پارامترهای مدل لغزش زمانی بر ظرفیت کanal

بررسی ها نشان داد که توزیع لپلاس قادر به مدل نمودن رفتار لغزش زمانی شبکه است. تغییر پارامترهای آن ممکن است بر کیفیت رفتار مدل اثر داشته باشد. برای سنجش اثرات ناشی از تغییر پارامترهای توزیع لپلاس، این آزمایش صورت گرفت. توزیع لپلاس دارای دو پارامتر اصلی است، یکی از پارامترهای آن همان میانه است که بنا بر آزمایش هایی که انجام شد، مقدار آن ۷/۳۵۱۵ میلی ثانیه به دست آمد. پارامتر دوم آن β بنام پارامتر مقیاس خوانده می شود. در این آزمایش بر روی پارامتر β تمرکز گردید. آزمایش بررسی اثر تغییر پارامتر β توزیع لپلاس با میانه ۷/۳۵۱۵ بر روی ظرفیت کanal انجام شد. شکل ۲۶ اثرات ناشی از تغییر پارامتر β توزیع لپلاس، با میانه ۷/۳۵۱۵ بر روی ظرفیت کanal پوششی را نشان می دهد

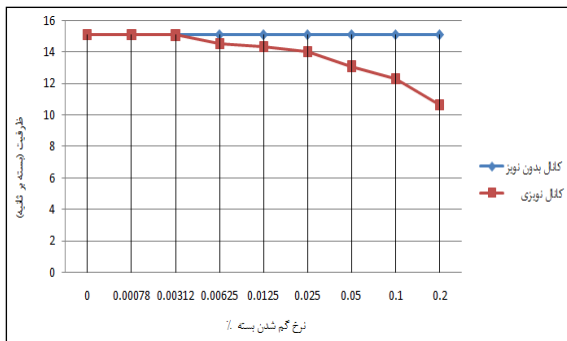
تحلیل نتایج آزمایش ۷

مشاهده شد که افزایش مقادیر β ، باعث محدودتر شدن یا کاهش دامنه نوسان لغزش زمانی نسبت به میانه گردید. این کاهش دامنه نوسان لغزش زمانی باعث شد که تعداد بیشتری از فاصله زمانی بین بسته ها در محدوده 2DR قرار گیرند. بدین سبب ظرفیت کanal افزایش یافت.

آزمایش ۹: تأثیر پارامتر مدل گم شدن بسته بر ظرفیت کanal بررسی ها نشان داد که توزیع برنولی قادر به مدل نمودن رفتار گم شدن بسته ها در شبکه های رایانه ای است. تغییر پارامتر این توزیع ممکن است بر ظرفیت کanal پوششی اثر داشته باشد. توزیع برنولی دارای یک پارامتر اصلی است، پارامتر ورودی این توزیع، " P " در اصل احتمال موفقیت، یعنی احتمال وقوع رخداد "۱" را مشخص می کند.

در اینجا این پارامتر بیانگر نرخ گم شدن بسته است.

یادآوری می گردد که نرخ گم شدن بسته در شرایط عادی شبکه بین ۰ تا ۰.۵٪ تخمین زده شده است. در شکل ۲۹ تغییرات پارامتر نرخ گم شدن بسته توزیع برنولی و تأثیر آن بر ظرفیت کanal مشاهده می گردد.



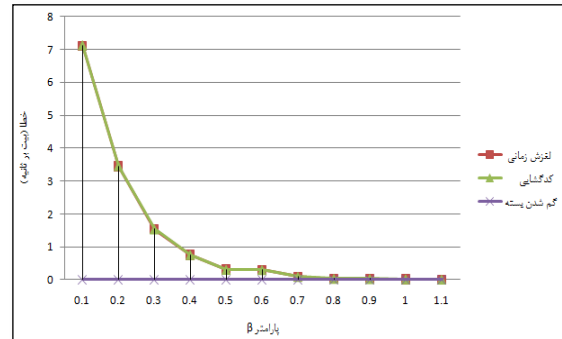
شکل ۲۹. نمودار پارامتر (P) توزیع برنولی و رابطه آن با ظرفیت کanal

تحلیل نتایج آزمایش ۹

افزایش نرخ وقوع خطای گم شدن بسته، تأثیراتی را بر زمان شبیه سازی و ظرفیت کanal گذاشته است. وقتی مقدار P صفر است، نرخ خطای گم شدن بسته صفر است. در این صورت فقط نویز لغزش زمانی می تواند ظرفیت کanal را کاهش دهد. نتایج نشان می دهد که هر چه مقدار پارامتر P کوچک تر باشد، ظرفیت کanal به مقدار اسمی خود نزدیک تر خواهد شد.

آزمایش ۱۰: تأثیر پارامتر مدل گم شدن بسته بر استحکام کanal نرخ گم شدن بسته در بازه [۰-۰.۲] تغییر یافته و مدل شبیه سازی شده اجرا گردید. جدول ۱۳ نتایج حاصل از این آزمایش را نشان می دهد. شکل ۳۰ به خوبی تأثیر افزایش شدت نویز گم شدن بسته را بر روی استحکام کanal نشان می دهد. زمانی که P صفر است، کanal دارای استحکام نزدیک به ۱۰۰ است، اما با افزایش مقدار P سطح استحکام کanal به تدریج کاهش یافته و زمانی که P به مقدار ۰.۲ رسید، استحکام کanal به پایین ترین سطح خود می رسد. به کارگیری پارامتر نرخ گم شدن بسته مناسب با توجه به وضعیت به کارگیری مدل شبیه سازی شده دارای اهمیت است. در شکل ۳۱ نمودار تغییر پارامتر P توزیع برنولی و تأثیر آن بر خطاهای کanal پوششی مشاهده می گردد.

در این آزمایش بر روی محدوده نوسان لغزش زمانی، خطای لغزش زمانی، خطای کدگشایی و خطای گم شدن بسته و اثر هر یک بر روی استحکام کanal با توجه به تغییر پارامتر β مطالعه گردید. در شکل ۲۸ تغییر پارامتر β توزیع لاپلاس و رابطه آن با انواع خطاهای کanal پوششی مشاهده می گردد.



شکل ۲۸. نمودار پارامتر β توزیع لاپلاس و رابطه آن با انواع خطاهای کanal

تحلیل نتایج آزمایش ۸

قاعده این است که ایجاد یا افزایش خطای باعث کاهش استحکام می گردد. اثرات ناشی از خطای لغزش زمانی شبکه، باعث کاهش شدید استحکام کanal شده است. زمانی که مقدار β برابر ۰.۱ است، بیشترین نرخ خطای معنی 7.1167 ms بیت بر ثانیه خطای کدگشایی رخداده است. این مقدار خطای باعث کاهش شدید استحکام کanal شده و کanal در عمل قابل بهره برداری نخواهد بود. به تدریج با افزایش مقدار β ، نرخ این خطای کاهش یافت تا جایی که وقتی مقدار β به ۰.۱ رسید، محدوده نوسان لغزش زمانی به 14 ms محدود شد. می توان گفت هر چه مقدار پارامتر β بیشتر شود محدوده نوسان لغزش زمانی بسته تر می شود. به طور قطع نرخ استحکام کanal بالاتر خواهد رفت، در این آزمایش نرخ خطای گم شدن بسته نوسان ویژه ای نداشت.

۴. تأثیر پارامتر مدل گم شدن بسته بر کارایی کanal

یکی دیگر از نویزهای مهم و مؤثر بر کارایی یک ارتباط انتها به انتهای پویا، نویز گم شدن بسته ها است. در این قسمت ابتدا به بیان فرضیات آزمایش پرداخته و در ادامه آزمایش های سنجش کارایی را انجام خواهیم دادیم. جدول ۱۲ فرضیات، پارامترها و مقادیر اولیه مورد استفاده در شبیه سازی را نشان می دهد.

جدول ۱۲. شرایط انجام آزمایش، مقادیر و پارامترهای ثابت

| شرایط آزمایش | مقادیر پارامترها |
|----------------|---------------------------|
| تعداد بسته ها | ۵۰۰۰ |
| مدل فرستنده | weibull(0.00512, 0.32868) |
| مدل لغزش زمانی | Laplac(1.0661, 7.3515) |
| ظرفیت هر بلوك | ۵ |
| روش کدگذاری | کم پشت، ۲ بسته از ۵ بسته |

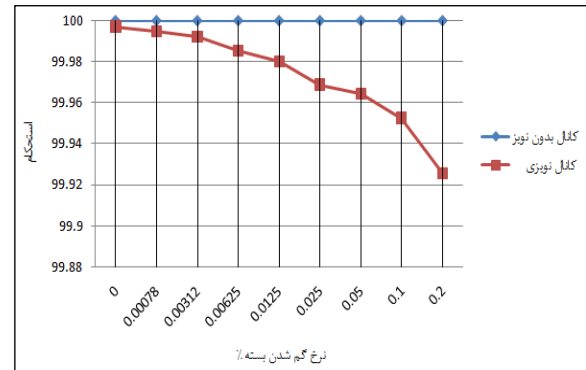
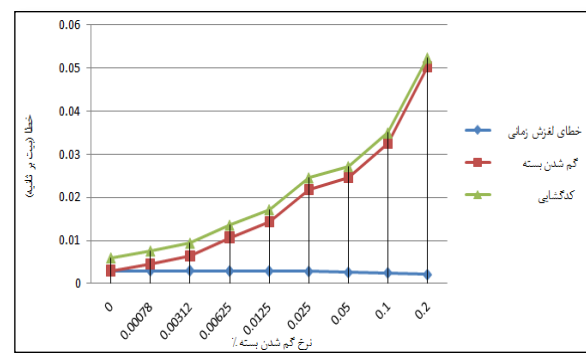
جدول ۱۳. نتایج آزمایش تغییر پارامتر P و اثر آن بر استحکام کانال

| استحکام کانال | خطای کدگشایی (بیت بر ثانیه) | خطای گم شدن بسته (بیت بر ثانیه) | خطای لغزش زمانی (بیت بر ثانیه) | تعداد بسته‌های گم شده | توزیع برنولی | %P |
|---------------|--------------------------------|------------------------------------|-----------------------------------|--------------------------|--------------|----|
| ۹۹/۹۹۷۰ | ۰/۰۰۶ | ۰/۰۰۳ | ۰/۰۰۳ | ۰ | ۰/۰ | |
| ۹۹/۹۹۴۶ | ۰/۰۰۷۶ | ۰/۰۰۴۶ | ۰/۰۰۳ | ۰/۲۵۵۴ | ۰/۰۰۰۷۸ | |
| ۹۹/۹۹۱۹ | ۰/۰۰۹۴ | ۰/۰۰۶۴ | ۰/۰۰۳ | ۰/۵۶۷۱ | ۰/۰۰۳۱۲ | |
| ۹۹/۹۸۵۴ | ۰/۰۱۳۶ | ۰/۰۱۰۷ | ۰/۰۰۲۹ | ۱/۳۴۱۲ | ۰/۰۰۶۲۵ | |
| ۹۹/۹۸۰۰ | ۰/۰۱۷۲ | ۰/۰۱۴۳ | ۰/۰۰۲۹ | ۱/۹۷۹۱ | ۰/۰۱۲۵ | |
| ۹۹/۹۶۸۷ | ۰/۰۲۴۶ | ۰/۰۲۱۸ | ۰/۰۰۲۸ | ۳/۳۹۳۲ | ۰/۰۲۵ | |
| ۹۹/۹۶۴۴ | ۰/۰۲۷۲ | ۰/۰۲۴۶ | ۰/۰۰۲۶ | ۴/۲۰۹۱ | ۰/۰۵ | |
| ۹۹/۹۵۲۵ | ۰/۰۳۵ | ۰/۰۳۲۵ | ۰/۰۰۲۵ | ۶/۰۹۱۸ | ۰/۱ | |
| ۹۹/۹۲۵۶ | ۰/۰۵۲۴ | ۰/۰۵۰۳ | ۰/۰۰۲۱ | ۱۱/۲۹۰۸ | ۰/۲ | |

۵. نتیجه‌گیری

استفاده از روش‌های تحلیلی برای مطالعه در حوزه کانال‌های زمانبندی دار پوششی، بعضی شرایط خاص را پوشش نمی‌دهد. به کارگیری روش پیاده‌سازی به منظور ارزیابی کارایی روش‌های نوین در این حوزه مطلوب نبوده و به علت برخی ملاحظات، پیشنهاد نمی‌گردد. می‌توان از آزمایشگاه‌های مجهر برای تحقیق در این حوزه و برای هر شرایط فیزیکی استفاده نمود. تجربه نشان می‌دهد که این روش بسیار پرهازینه بوده و بروز رسانی تجهیزات و تأمین آن‌ها، به واسطه هزینه‌های سنگین اعتباری ممکن نیست. یکی از راه‌های بسیار ارزشمند برای مطالعه بر روی کانال‌های زمانبندی دار پوششی، استفاده از شبیه‌سازی است. تأمین بستر شبیه‌سازی در کشور، هزینه‌ای نداشته و به راحتی می‌توان بستر مناسب برای مطالعه در این حوزه را از طریق شبیه‌سازی تأمین نمود. مطالعات پیش‌ازیان و آزمایش‌های عملی نشان داد که مدل رفتار فرستنده کانال پوششی برای ارسال ترافیک HTTP، باید از توزیع ویبول تبعیت نماید تا ظرفیت و استحکام کانال نیز در بالاترین سطح بماند. مشاهده شد که به کارگیری توزیع لاپلاس می‌تواند به خوبی رفتار لغزش زمانی شبکه را مدل نماید و توزیع مستقل برنولی قادر به مدل نمودن رفتار نویز گم شدن بسته‌های شبکه است.

ارزیابی کارایی نشان داد که در بین توزیع‌های گاما، بتا، نمایی و ویبول، توزیع ویبول با پارامترهای $0/۰۰۵۱۲$ و $۰/۰۰۰۵۱۲$ بهترین کارایی را در تأمین استحکام و ظرفیت فرستنده کانال دارد. با توجه به فرضیات آزمایش، توزیع لاپلاس با پارامترهای $۰/۰۰۵۱۵$ و $۰/۰۶۶۱$ قادر است به خوبی رفتار لغزش زمانی شبکه را مدل نماید. همچنین توزیع مستقل بسته‌ها به کار برد. دیدیم که با به کارگیری نمودن رفتار نویز گم شدن بسته‌ها به کار برد. دیدیم که با به کارگیری روش شبیه‌سازی، به خوبی می‌توان بر روی کانال‌های پوششی مطالعه و تحقیق نمود. نگرانی‌هایی که پیش‌ازیان در مورد قابلیت‌های شبیه‌سازی با ابزار CPNTTools وجود داشت برطرف شد. کانال به خوبی مدل‌سازی و شبیه‌سازی شد و مورد درستی سنجی قرار گرفت. نتایج حاصل از ارزیابی این مدل، راه را برای ادامه مطالعه بر روی این کانال‌ها از این طریق هموار ساخت.

شکل ۳۰. نمودار پارامتر P توزیع برنولی و رابطه آن با استحکام کانالشکل ۳۱. نمودار پارامتر P توزیع برنولی و تأثیر آن بر خطاهای کانال

تحلیل نتایج آزمایش ۱۰

این آزمایش نشان داد که انتخاب پارامتر P مناسب برای مدل نمودن رفتار مناسبی از مدل گم شدن بسته‌ها، دارای اهمیت است؛ زیرا در صورتی که این پارامتر به مقدار نادرستی تنظیم گردد، باعث خواهد شد که نتیجه شبیه‌سازی مقدار نادرستی باشد؛ و متناسب با آن اگر کانالی طراحی و پیاده‌سازی گردد، این کانال استحکام قابل قبولی در برابر وقوع خطاهای نخواهد داشت. پیش‌ازین محدوده‌ای برای نرخ گم شدن بسته به دست آمد، اما انتخاب مقدار آن برای هر کاربردی باید با آزمایش‌های متعدد در همان فضای کاربردی خاص صورت گیرد.

۵. مراجع

- [1] A. E. Cha and J. Krim. (2001) Terrorists' Online Methods Elusive U.S. Agencies Seek Experts' Help in Tracing Encrypted Messages. 14 .
- [2] K. Eaton, "Deep Inside Alleged Russian Spies," Tech and Techniques, 2010.
- [3] K. Borders and A. Prakash, "Towards Quantification of Network-Based Information Leaks Via HTTP," USENIX Workshop on Hot Topics in Security, vol. 3, 2008.
- [4] W. Security, "WhiteHat Website Security Statistic Report," 2013.
- [5] V. D. Gligor, "A Guide to Understanding Covert Channel Analysis of Trusted Systems," National Computer Security Center, Meade, Maryland, NCSC-TG-030, 1993.
- [6] R. A. Kemmerer, "Shared resource matrix methodology: A practical approach to identifying covert channels," ACM Transactions on Computer Systems, vol. 1, pp. 2, 277-56, 1983.
- [7] R. J. Walls, K. Kothari, and M. Wright, "Liquid: A detection-resistant covert timing channel based on IPD shaping," Elsevier Computer Networks, vol. 55, pp. 1217-1228, 2011.
- [8] S. Gianvecchio and H. Wang, "Detecting covert timing channels: an entropy-based approach," in CCS'07: Proceedings of the 14th ACM conference on Computer and Communications Security, NY, USA, 2007, pp. 307-316.
- [9] S. Gianvecchio, H. Wang, D. Wijesekera, and S. Jajodia, "Model-Based Covert Timing Channels: Automated Modeling and Evasion," in Proceedings of Recent Advances in Intrusion Detection (RAID) Symposium, 2008.
- [10] S. H. Sellke, C.C. Wang, S. Bagchi, and N. B. Shroff, "Covert TCP/IP Timing Channels: Theory to Implementation," in Proceedings of the 28th Conference on Computer Communications (INFOCOM), 2009.
- [11] X. Zi, L. Yao, L. Pan, and J. Li, "Implementing a passive network covert timing channel," Elsevier computers & security, pp. 686-696, 2010.
- [12] S. Zander, "Performance of Selected Noisy Covert Channels and Their Countermeasures in IP Networks," PhD Thesis, Centre for Advanced Internet Architectures Faculty of Information and Communication Technologies, Swinburne University of Technology, Melbourne, 2010.
- [13] A. HoumanSadr, "Design, Analysis, and Implementation of Effective Network flow Watermarking Schemes," PhD Thesis, Illinois Urbana-Champaign, 2012.
- [14] E. J. Daniel, C. M. White, and K. A. Teague, "An Inter-arrival Delay Jitter Model using Multi-Structure Network Delay Characteristics for Packet Networks," presented at the 37th Asilomar Conference on Signal, Systems, and Computers, New York, 2003.
- [15] L. R. Domínguez, D. T. Roman, D. M. Rodríguez, and C. V. Rosales, "Jitter in IP Networks: A Cauchy Approach," IEEE COMMUNICATIONS LETTERS, vol. 14, 2010.
- [16] Z. pi, E. Kwon, D. Kim, and D. Kim, "Forward link voip packet delay jitter model," Samsung Electronics Co. C30-20060719-006, 2006.
- [17] T. K. Bandhopadhyay, M. Saxena, and A. Tiwari, "Jitter's Alpha Stable Distribution Behavior," Computer Technology and Electronics Engineering (IJCTEE), vol. 3, 2013.
- [18] A. Abdolazimi, M. Mohamadi, B. N. Sharif, and A. Akbari, "Combination of several methods for the recovery of lost packets and its application in distributed speech recognition," presented at the the Third International Conference on Information and Knowledge Technology, Ferdowsi University of Mashhad, 2007.
- [19] T. I. Association, "Network Model for Evaluating Multimedia Transmission Performance Over Internet Protocol," vol. PN-3-0062-RV1, ed. to be published as ANSI/TIA 921 A, 2007.
- [20] I. Cisco Systems, "Packet Loss Model," vol. TR41.3.3/00-02-005, ed: Ram Jagadeesan, 2000.
- [21] R. Flynn and E. Jones, "Robust distributed speech recognition in noise and packet loss conditions," Digital Signal Processing, pp. 1559-1571, 2010.
- [22] J. Mochinac, P. Kocan, and B. Hrušovsk, "Packet loss modeling," in proceedings of The 10th Scientific Conference of Young Researchers, Kosice Slovakia, 2010.
- [23] A. Flo, "User-Perceived Quality of Service in Video on Demand Services," Master of Science, Department of Telematics, University of Science and Technology, Norwegian, 2006.